

Научная статья

УДК 621.372.632

DOI:10.31854/1813-324X-2023-9-6-25-33



## Границы оценивания параметров сигналов с прямым расширением спектра

✉ **Ефим Александрович Брусин**, brusin.ea@sut.ru

АО «Российский институт радионавигации и времени»,  
Санкт-Петербург, 192012, Российская Федерация  
Санкт-Петербургский государственный университет телекоммуникаций им. проф. М.А. Бонч-Бруевича,  
Санкт-Петербург, 193232, Российская Федерация

**Аннотация:** В статье обсуждаются проблемы оценивания параметров сигналов с прямым расширением спектра и анализа эффективности получаемых оценок. Достижимая дисперсия оценок, как правило, сопоставляется с соответствующей границей Крамера – Рао. Предложенный подход позволяет определить границы Крамера – Рао для сигналов различных видов модуляции и спектральных характеристик. Представлены зависимости границ оценивания от отношения сигнал/шум, длины расширяющей последовательности и длительности интервала наблюдения.

**Ключевые слова:** прямое расширение спектра, оценивание параметров сигнала, граница Крамера – Рао

**Ссылка для цитирования:** Брусин Е.А. Границы оценивания параметров сигналов с прямым расширением спектра // Труды учебных заведений связи. 2023. Т. 9. № 6. С. 25–33. DOI:10.31854/1813-324X-2023-9-6-25-33

## Direct Sequence Spread Spectrum Signal's Parameters Estimation Bounds

✉ **Efim Brusin**, brusin.ea@sut.ru

Russian Institute of Radionavigation and Time,  
St. Petersburg, 192012, Russian Federation  
The Bonch-Bruevich Saint-Petersburg State University of Telecommunications,  
St. Petersburg, 193232, Russian Federation

**Abstract:** The article discusses the problems of direct spread spectrum signal's parameters estimation and estimation performance analyzing. The achieved estimation variances compared with the corresponding Cramer – Rao bounds as a rule. The proposed approach makes it possible to determine the bounds for signals of various types of modulation and spectral characteristics. The dependences of the Cramer – Rao bounds on the signal-to-noise ratio, the spread spectrum sequence length and the duration of the observation interval are presented.

**Keywords:** direct sequence spread spectrum, signal's parameters estimation, Cramer – Rao bound

**For citation:** Brusin E. Direct Sequence Spread Spectrum Signal's Parameters Estimation Bounds. *Proceedings of Telecommun. Univ.* 2023;9(6):25–33. DOI:10.31854/1813-324X-2023-9-6-25-33

### Постановка задачи

Фактически саму демодуляцию можно трактовать как процедуру совместного оценивания параметров принимаемого сигнала. Но, как правило, начальная неопределенность по частоте несущего колебания и задержке таковы, что реализации собственно демодуляции невозможна без предварительного оценивания указанных параметров. В этом смысле оценивание условно разделяется на оценивание параметров до демодуляции, определяемое, как начальная синхронизация, и оценивание в процессе демодуляции.

Проблемы реализации начальной синхронизации, в частности, подробно обсуждались в работах [1–3]. В этих работах основной акцент делается на оценивании несущей частоты, а оценивание задержки фактически сводится к «грубому» определению положения корреляционного пика в одном из частотных каналов. Границы Крамера – Рао для оценивания несущей частоты и задержки приведены, например, в работе [4]. В работе показано, что границы зависят от среднеквадратичной полосы и среднеквадратичной длительности сигнала, но не раскрывается смысл этих параметров. Количественно не определена связь границ оценивания со спектральными характеристиками принимаемых сигналов.

Как правило, оценивание параметров сигналов с прямым расширением спектра сопряжено с анализом приема сигналов с существенным доплеровским смещением несущей частоты. Например, в таких системах, как системы спутниковой навигации. Однако сигналы с прямым расширением спектра используются также в системах, построенных на основе геостационарных спутников [5, 6]. В таких системах особое значение играет оценивание несущей частоты и фазы несущего колебания, так как точность оценивания последнего параметра определяет, например, качество фазовых измерений псевдодальности.

В то же время в работах по демодуляции сигналов с прямым расширением спектра практически не обсуждаются границы оценивания фазы несущего колебания. В свою очередь, несмотря на наличие большого количества работ по проблемам приема сигналов с прямым расширением спектра, в известных работах не приводятся значения границ оценивания, учитывающих в полной мере специфику используемых сигналов. Поэтому проблема определения указанных границ представляется весьма актуальной.

В этой связи основной задачей представляемой статьи является получение границ оценивания параметров сигналов с прямым расширением спектра для различных видов модуляции и спектральных характеристик принимаемых сигналов.

### Границы оценивания

В системах, использующих сигналы с прямым расширением спектра, как правило, применяются фазовые методы модуляции. Передаваемый сигнал формируется путем умножения на расширяющую спектр последовательность  $s_k(t)$  (сигнатуру):

$$s_k(t; b_k) = s_k(t) \cdot B_k(t) \cdot \cos(2\pi f_0 t),$$

где  $B_k(t) = d_k = \pm 1$  – информационные символы, передаваемые на интервалах  $T_b$ ;  $T_b$  – длительность информационного символа (бита);  $f_0$  – номинальное значение частоты несущего колебания.

Длительность бита:

$$T_b = N_I T_S,$$

где  $T_S$  и  $N_I$  – длительность чипа и выраженная в количестве чипов длина расширяющей последовательности, соответственно.

Упрощенная схема формирования сигнала с прямым расширением спектра представлена на рисунке 1 [2].



Рис. 1. Формирование сигнала с прямым расширением спектра

Fig. 1. Direct Spread Spectrum Signal Generation

Принимаемый сигнал может быть представлен в виде:

$$\tilde{s}_k(t; b_k) = s_k(t - \hat{\tau}) \cdot B_k(t - \hat{\tau}) \times \cos(2\pi(f_0 + f)t + \varphi) + n_\tau(t),$$

где  $\hat{\tau}$  – задержка в канале;  $f$  – смещение частоты несущего колебания относительно заданного номинального значения;  $\varphi$  – фаза несущей частоты;  $n_\tau(t)$  – отсчеты шума.

Граница Крамера – Рао дисперсии оценки задержки определяется следующим образом [4]:

$$D\{\hat{\tau}\} \approx \frac{1}{4\pi^2 W_{RMS}^2 q^2}, q \gg 1, \quad (1)$$

где  $q^2$  – отношение сигнал-шум;  $W_{RMS}$  – среднеквадратичная полоса сигнала.

Квадрат среднеквадратичной полосы сигнала определяется выражением [7]:

$$W_{RMS}^2 = \frac{\int_{-\infty}^{\infty} f^2 |G(f)|^2 df}{\int_{-\infty}^{\infty} |G(f)|^2 df}, \quad (2)$$

где  $|G(f)|^2$  – энергетический спектр низкочастотного модулирующего колебания, формирующего передаваемый сигнал.

Для сигнала фазовой модуляции энергетический спектр низкочастотного модулирующего колебания выражается следующим образом [8]:

$$|G(f)|^2 \sim \left( \frac{\sin(2\pi f T_s)}{2\pi f T_s} \right)^2, \quad (3)$$

где  $T_s$  – длительность чипа передаваемого сигнала.

Фазовая модуляция наиболее распространена в системах связи и навигации, использующих сигналы с прямым расширением спектра. В главном «лепестке» спектра (3) содержится более 90 % мощности сигнала [8]. При вычислении выражения (2) для фазомодулированного сигнала будем полагать, что сигнал ограничен полосой  $\left[-\frac{1}{2T_s}; \frac{1}{2T_s}\right]$ .

Для такого ограничения (2) переписывается в виде:

$$W_{PM}^2 = \int_{-T_s/2}^{T_s/2} f^2 \left( \frac{\sin(2\pi f T_s)}{2\pi f T_s} \right)^2 df / \int_{-T_s/2}^{T_s/2} \left( \frac{\sin(2\pi f T_s)}{2\pi f T_s} \right)^2 df,$$

где  $W_{PM}$  – среднеквадратичная полоса сигнала фазовой модуляции для сигнала со спектром, определенным (3).

В итоге для  $W_{PM}^2$  получим:

$$W_{PM}^2 = \frac{1}{4\pi T_s^2} / \int_{-\pi}^{\pi} \left( \frac{\sin x}{x} \right)^2 dx. \quad (4)$$

Отношение сигнал/шум в (1) выражается следующим образом:

$$q^2 = 2N_I E_S / N_0,$$

где  $E_S / N_0$  – отношение сигнал/шум на чип.

С учетом (4) получим выражение для минимальной дисперсии оценивания задержки:

$$D_{PM}\{\hat{\tau}\} \approx \frac{T_s^2}{2\pi N_I E_S / N_0} \int_{-\pi}^{\pi} \left( \frac{\sin x}{x} \right)^2 dx.$$

Как правило, в работах по теории оценивания параметров сигналов оперируют с нормированной

границей Крамера – Рао [9].

В рассматриваемом случае для фазовой модуляции нормированная к длительности чипа граница выражается следующим образом:

$$CRB_{PM}(\hat{\tau}) = D_{PM}\{\hat{\tau}\} / T_s^2 \approx \frac{1}{2\pi N_I E_S / N_0} \int_{-\pi}^{\pi} \left( \frac{\sin x}{x} \right)^2 dx. \quad (5)$$

Кроме собственно фазовой модуляции, в системах широко используются модуляция минимального сдвига (ММС) и сигналы, сформированные с использованием фильтра Найквиста.

Энергетический спектр низкочастотного модулирующего колебания для ММС определяется выражением [8]:

$$|G(f)|^2 \sim \frac{1 + \cos(4\pi f T_s)}{(1 - 16f^2 T_s^2)^2}. \quad (6)$$

И, наконец, если импульсная характеристика фильтра, формирующего сигнал, соответствует импульсной характеристике фильтра Найквиста, энергетический спектр соответствующего низкочастотного колебания определяется амплитудно-частотной характеристикой фильтра, которая выражается в виде (7), где  $\alpha$  – коэффициент скругления фильтра Найквиста, формирующего сигнал на передачу.

На рисунке 2 представлены нормированные спектры для сигналов фазовой модуляции и сигналов модуляции минимального сдвига. На рисунке 3 – спектры Найквиста для двух коэффициентов скругления. В главном «лепестке» спектра сигнала ММС содержится 97 % мощности сигнала [8]. Соответственно, также как и для ФМ-сигнала, будем рассматривать полосу главного «лепестка»  $\left[-\frac{3}{4T_s}; \frac{3}{4T_s}\right]$ .

В соответствии с рассматриваемым условием квадрат среднеквадратичной полосы для сигнала ММС определяется формулой (8). Упростив (8), получим окончательное выражение (9) для  $W_{MSK}^2$ .

$$|H(f, \alpha)|^2 = \begin{cases} T_s, & |f| < \frac{1 - \alpha}{2T_s} \\ T_s \cos^2 \left[ \frac{\pi}{4\alpha} (|2fT_s| - 1 + \alpha) \right], & \frac{1 - \alpha}{2T_s} \leq |f| \leq \frac{1 + \alpha}{2T_s} \\ 0, & |f| > \frac{1 + \alpha}{2T_s} \end{cases}. \quad (7)$$

$$W_{MSK}^2 = \int_{-\frac{3}{4}T_s}^{\frac{3}{4}T_s} f^2 \frac{1 + \cos(4\pi f T_s)}{(1 - 16f^2 T_s^2)^2} df / \int_{-\frac{3}{4}T_s}^{\frac{3}{4}T_s} \frac{1 + \cos(4\pi f T_s)}{(1 - 16f^2 T_s^2)^2} df. \quad (8)$$

$$W_{MSK}^2 = \frac{1}{16\pi^2 T_s^2} \int_{-3\pi}^{3\pi} x^2 \frac{1 + \cos x}{(1 - (x/\pi)^2)^2} dx / \int_{-3\pi}^{3\pi} \frac{1 + \cos x}{(1 - (x/\pi)^2)^2} dx. \quad (9)$$

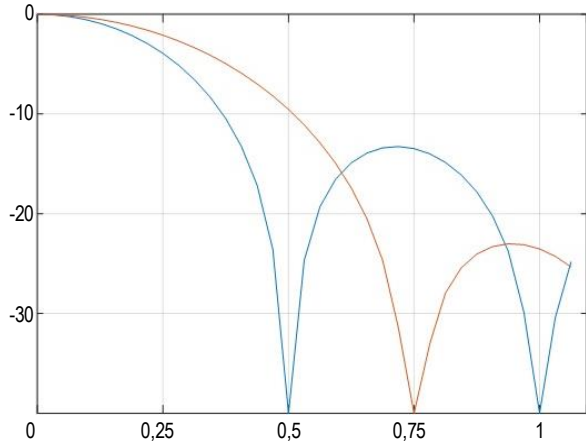


Рис. 2. ФМ и ММС: нормированные энергетические спектры  
Fig. 2. PSK and MSK: Normalized Signal Spectrums

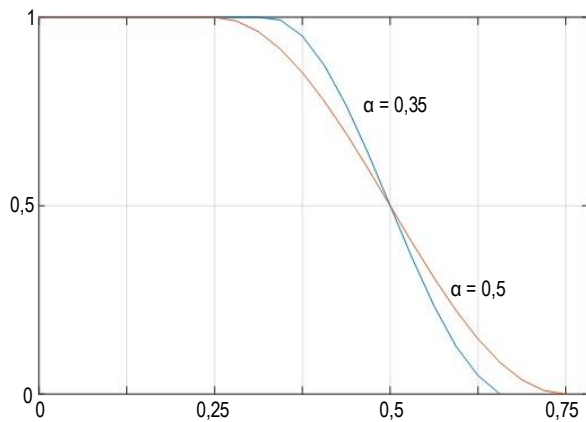


Рис. 3. Спектры Найквиста  
Fig. 3. Nyquist Spectrums

Введем обозначение:

$$\xi_{MSK} = \int_{-3\pi}^{3\pi} x^2 \frac{1 + \cos x}{(1 - (x/\pi)^2)^2} dx / \int_{-3\pi}^{3\pi} \frac{1 + \cos x}{(1 - (x/\pi)^2)^2} dx.$$

С учетом (9) граница (1) для ММС переписывается в виде:

$$D_{MSK}\{\hat{\tau}\} \approx \frac{2T_S^2}{\xi_{MSK} N_I E_S / N_0}.$$

В итоге для модуляции минимального сдвига нормированная граница Крамера – Рао оценки задержки определяется выражением:

$$CRB_{MSK}(\hat{\tau}) = D_{MSK}\{\hat{\tau}\} / T_S^2 \approx \frac{2}{\xi_{MSK} N_I E_S / N_0}. \quad (10)$$

И, наконец, квадрат среднеквадратичной полосы сигнала, сформированного спектром Найквиста  $W_\alpha^2$ , определяется выражением [9]:

$$W_\alpha^2 = \frac{1}{T_S^2} \left( \frac{1}{12} + \alpha^2 \left( \frac{1}{4} - \frac{2}{\pi^2} \right) \right). \quad (11)$$

С учетом (11) граница Крамера – Рао оценки задержки для сигнала, сформированного фильтром Найквиста, определяется выражением:

$$D_\alpha\{\hat{\tau}_k\} \approx \frac{T_S^2}{8\pi^2 N_I E_S / N_0 \left( \frac{1}{12} + \alpha^2 \left( \frac{1}{4} - \frac{2}{\pi^2} \right) \right)}.$$

Соответственно, запишем нормированную границу Крамера – Рао оценки задержки для сигнала с «найквистовским» спектром:

$$CRB_\alpha(\hat{\tau}_k) = D_\alpha\{\hat{\tau}_k\} / T_S^2 \approx \frac{1}{8\pi^2 N_I E_S / N_0 \left( \frac{1}{12} + \alpha^2 \left( \frac{1}{4} - \frac{2}{\pi^2} \right) \right)}. \quad (12)$$

На рисунке 4 представлены зависимости границ (5, 10 и 11) от отношения сигнал/шум на чип для длины расширяющей последовательности, равной 80000.

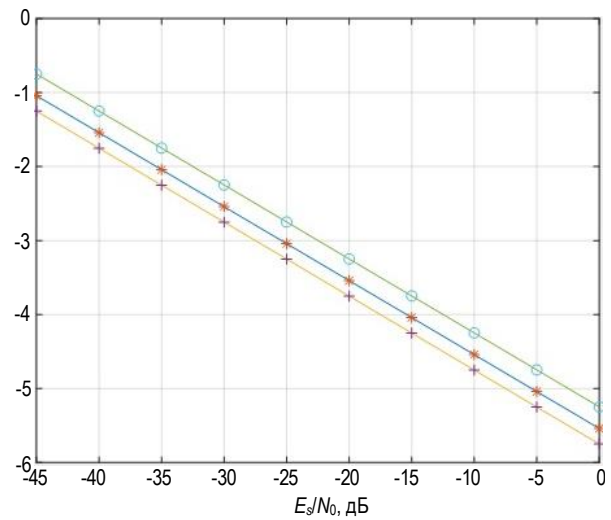


Рис. 4. Границы оценивания задержки ( $N_I = 80000$ )  
Fig. 4. Delay Estimation Bounds ( $N_I = 80000$ )

На рисунке использованы следующие условные обозначения: o –  $CRB_{PM}(\hat{\tau})$ , \* –  $CRB_{MSK}(\hat{\tau})$ , + –  $CRB_\alpha(\hat{\tau})$  для  $\alpha = 0,35$ .

Граница Крамера – Рао оценки несущей частоты выражается следующим образом [4]:

$$D\{\hat{f}\} \approx \frac{1}{4\pi^2 T_{RMS}^2 q^2}, \quad q \gg 1. \quad (13)$$

Квадрат среднеквадратичной длительности сигнала  $T_{RMS}^2$  в (13) определяется выражением [7]:

$$T_{RMS}^2 = \frac{\int_{-T/2}^{T/2} t^2 |s(t)|^2 dt}{\int_{-T/2}^{T/2} |s(t)|^2 dt}. \quad (14)$$

где  $T = KN_I T_S$  – интервал наблюдения (длительность выборки сигнала, накопленного для реализации процедуры оценивания);  $K$  – интервал наблюдения, выраженный в количестве информационных символов;  $s(t)$  – принимаемый сигнал.

Будем полагать, что интервал наблюдения  $T$  много больше длительности интервала информационного символа:  $K \gg 1$ .

В таком случае по теореме Парсеваля [10] для интеграла в знаменателе выражения (14) можно записать:

$$\int_{-T/2}^{T/2} |s(t)|^2 dt = \int_{-\infty}^{\infty} |G(f)|^2 df.$$

Перепишем числитель выражения (14):

$$\int_{-T/2}^{T/2} t^2 |s(t)|^2 dt = \int_{-T/2}^{T/2} |ts(t)|^2 dt.$$

Если интервал наблюдения  $T \gg T_s$ , то:

$$\int_{-T/2}^{T/2} |ts(t)|^2 dt \equiv \frac{1}{2\pi} \int_{-\infty}^{\infty} \left| \frac{\partial G(f)}{\partial f} \right|^2 df.$$

Тождество, представленное выше, проистекает из правила дифференцирования преобразования Фурье. В итоге для  $T_{RMS}^2$  можно записать:

$$T_{RMS}^2 = \frac{1}{2\pi} \int_{-\infty}^{\infty} \left| \frac{\partial G(f)}{\partial f} \right|^2 df \bigg/ \int_{-\infty}^{\infty} |G(f)|^2 df. \quad (15)$$

Теперь осталось определить среднеквадратичные длительности для спектров (3, 6 и 7). Выражение (15) с учетом введенного выше ограничения ширины полосы для фазовой модуляции:

$$T_{PM}^2 = T_s^2 \int_{-\pi}^{\pi} \left( \frac{x \cos x - \sin x}{x^2} \right)^2 dx \bigg/ \int_{-\pi}^{\pi} \left( \frac{\sin x}{x} \right)^2 dx.$$

Введем обозначение:

$$T_{MSK}^2 = \frac{2T_s^2}{\pi} \int_{-3/2}^{3/2} \left( \frac{16 \cdot x \cos(\pi x) - 2\pi(1 - 4x^2)\sin(\pi x)}{(1 - 4x^2)^2} \right)^2 dx \bigg/ \int_{-3\pi}^{3\pi} \frac{1 + \cos x}{(1 - (x/\pi)^2)^2} dx. \quad (17)$$

$$\beta_{MSK} = \frac{2}{\pi} \int_{-3/2}^{3/2} \left( \frac{16 \cdot x \cos(\pi x) - 2\pi(1 - 4x^2)\sin(\pi x)}{(1 - 4x^2)^2} \right)^2 dx \bigg/ \int_{-3\pi}^{3\pi} \frac{1 + \cos x}{(1 - (x/\pi)^2)^2} dx. \quad (18)$$

$$D_{MSK}\{\hat{f}\} \approx \frac{1}{4\pi^2 N_I E_S / N_0 \beta_{MSK} T_s^2}. \quad (19)$$

$$CRB_{MSK}(f) = D_{MSK}\{\hat{f}\} \cdot T_s^2 \approx \frac{1}{4\pi^2 N_I E_S / N_0 T_s^2 \beta_{PM}}. \quad (20)$$

$$T_{\alpha}^2 = \frac{1}{2\pi} \int_{-T_s(1+\alpha)/2}^{T_s(1+\alpha)/2} \left| \frac{dH(f, \alpha)}{df} \right|^2 df \bigg/ \int_{-T_s(1+\alpha)/2}^{T_s(1+\alpha)/2} |H(f, \alpha)|^2 df. \quad (21)$$

В итоге для соответствующей нормированной границы справедливо:

$$CRB_{\alpha}(f) = D_{\alpha}\{\hat{f}\} \cdot T_s^2 \approx \frac{4\alpha}{\pi^3 N_I E_S / N_0}. \quad (22)$$

$$\beta_{PM} = \int_{-\pi}^{\pi} \left( \frac{x \cos x - \sin x}{x^2} \right)^2 dx \bigg/ \int_{-\pi}^{\pi} \left( \frac{\sin x}{x} \right)^2 dx.$$

Граница (13) для фазовой модуляции со спектром (3), ограниченной полосой  $\left[-\frac{1}{2T_s}; \frac{1}{2T_s}\right]$ , определяется выражением:

$$D_{PM}\{\hat{f}\} \approx \frac{1}{4\pi^2 N_I E_S / N_0 T_s^2 \beta_{PM}}.$$

В итоге нормированная граница Крамера – Рао оценки несущей частоты для фазовой модуляции:

$$CRB_{PM}(f) = D_{PM}\{\hat{f}\} \cdot T_s^2 \approx \frac{1}{4\pi^2 N_I E_S / N_0 \beta_{PM}}. \quad (16)$$

Аналогичным образом можно получить среднеквадратичную длительность сигнала для модуляции минимального сдвига –  $T_{MSK}$ . При тех же ограничениях «главного лепестка»  $T_{MSK}^2$  определяет выражение (17). Введем обозначение (18) и получим (19). Отсюда нормированная граница Крамера – Рао оценки несущей частоты для ММС со спектром, ограниченным «главным лепестком», определяется по (20).

Среднеквадратичную длительность сигнала, сформированного фильтром Найквиста –  $T_{\alpha}$  можно определить, исходя из выражения (21).

Исходя из (7), можно определить  $T_{\alpha}^2$  и найти соответствующую границу:

$$D_{\alpha}\{\hat{f}\} \approx \frac{4\alpha}{\pi^3 N_I E_S / N_0 T_s^2}.$$

На рисунке 5 представлены зависимости рассматриваемых границ оценивания несущей частоты (16, 20 и 22) от отношения сигнал/шум на чип для длины расширяющей последовательности, равной 80000.

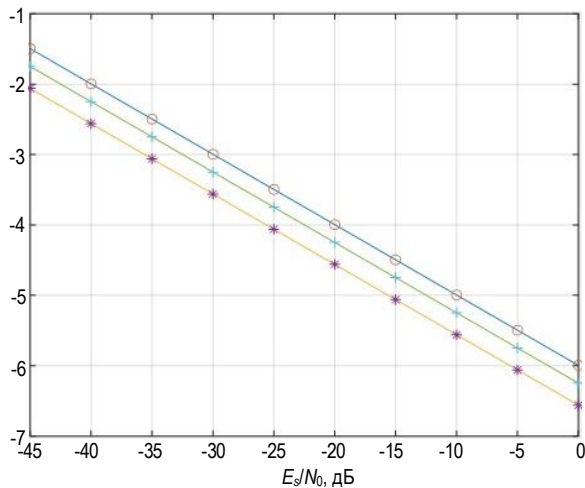


Рис. 5. Границы оценивания несущей частоты ( $N_t = 80000$ )  
 Fig. 5. Carrier Frequency Estimation Bounds ( $N_t = 80000$ )

На рисунке использованы следующие условные обозначения:  $\circ$  –  $CRB_{PM}(f)$ ,  $*$  –  $CRB_{MSK}(f)$ ,  $+$  –  $CRB_{\alpha}(f)$  для  $\alpha = 0,35$ .

В работе [3] был предложен алгоритм оценивания несущей частоты демодулятора сигналов с прямым расширением спектра. Фактически оценивание сводится к вычислению функции правдоподобия принимаемого сигнала на основе быстрого преобразования Фурье и нахождению максимума указанной функции в плоскостях несущей частоты и задержки. Реализацию предложенного алгоритма оценивания для сигнала ММС иллюстрируют зависимости, представленные на рисунке 6.

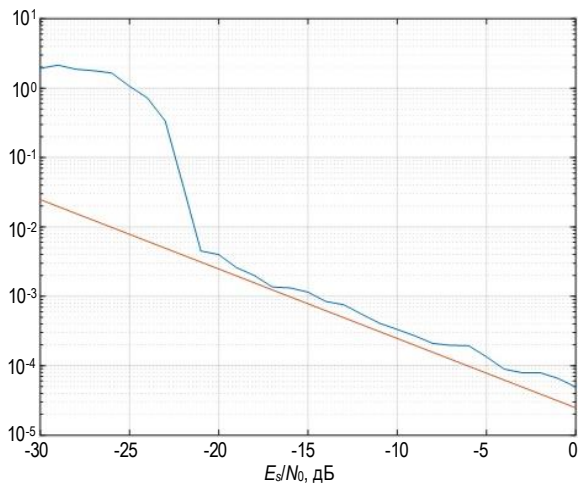


Рис. 6. ММС: дисперсия оценки несущей частоты ( $N_t = 2048$ )  
 Fig. 6. MSK: Carrier Frequency Variance ( $N_t = 2048$ )

Результаты получены для интервала наблюдения  $K$ , равного 8 информационным символам. На рисунке также представлена соответствующая граница оценивания. Следует отметить, что полученная дисперсия весьма близка к границе.

Представляется, что алгоритмы оценивания, основанные на нахождении максимума функции неопределенности, фактически реализуют совмест-

ную оценку максимального правдоподобия (МП-оценивание) параметров  $\{f, \tau\}$  при условии отсутствия информации о фазе несущей частоты принимаемой информации.

Однако подход к оцениванию, основанный на вычислении функции неопределенности, не реализует оценивание фазы несущего колебания и соответственно не дает определения соответствующей нижней границы. В рассматриваемом случае решение задачи оценивания сводится к оцениванию параметров  $\{f, \tau, \varphi\}$  в условиях, когда неизвестна передаваемая информация, начало сигнатуры и фаза несущей частоты. Необходимо определить нижние границы дисперсий оценок каждого из элементов вектора  $\alpha = \{f, \tau, \varphi\}$ .

Границы оценивания параметров сигнала, полученные с использованием анализа его дискретных отсчетов на интервале наблюдения, обсуждались в работе [11]. На основе построения информационной матрицы Фишера были получены минимальные граничные дисперсии оценок параметров отрезка гармонического колебания. Предлагаемый подход состоит в следующем: если сигнал характеризуется набором параметров  $\alpha = \{\alpha_0, \alpha_1, \alpha_2, \dots\}$ , а  $\hat{\alpha}_k$  – несмещенная оценка некоторого параметра  $\beta_k$ , то нижняя граница дисперсии оценки  $\alpha_k$  определяется элементами матрицы, обратной информационной матрице Фишера [11]:

$$\sigma_k^2 = \text{var}(\hat{\alpha}_k - \alpha_k) \geq J_{kk}^{-1},$$

где  $J_{kk}$  – элементы матрицы  $J^{-1}$ .

Элементы матрицы Фишера определяются следующим образом [11]:

$$J_{ik} = -E_W \left[ \frac{\partial^2 [\ln[p(\tilde{s}_k|\alpha)]]}{\partial \alpha_i \partial \alpha_k} \right],$$

где  $E_W$  – статистическое усреднение по отношению к шуму;  $p(\tilde{s}_k|\alpha)$  – совместная функция плотности вероятности вектора  $\tilde{s}_k$  для заданных параметров  $\alpha = \{\alpha_0, \alpha_1, \alpha_2, \dots\}$ ;  $\ln[p(\tilde{s}_k|\alpha)]$  – логарифм функции правдоподобия.

В работе [12] предложенный подход к определению потенциальных границ оценивания параметров сигналов развит для сигналов с различными видами модуляции. Показано, что компоненты матрицы Фишера могут быть представлены в виде:

$$F = E_d \left\{ \begin{pmatrix} J_{ff} & J_{f\varphi} & J_{f\tau} \\ J_{\varphi f} & J_{\varphi\varphi} & J_{\varphi\tau} \\ J_{\tau f} & J_{\tau\varphi} & J_{\tau\tau} \end{pmatrix} \right\}, \quad (23)$$

где  $E_d\{\cdot\}$  – усреднение элементов матрицы по информационной последовательности.

Заметим, что в матрице (23) номера  $i, k$  заменены на индексы, соответствующие параметрам  $\{f, \tau, \varphi\}$ . В итоге в [12] показано, что матрица Фишера для параметров  $\alpha = \{f, \tau, \varphi\}$  принимает следующий вид:

$$\mathbf{F} = \begin{pmatrix} F_{ff} & F_{f\varphi} & 0 \\ F_{\varphi f} & F_{\varphi\varphi} & 0 \\ 0 & 0 & F_{\tau\tau} \end{pmatrix}.$$

Отсюда нижняя граница дисперсии оценки несущей частоты определяется следующим образом:

$$\text{var}(\hat{f} - f) = \frac{1}{F_{ff} - F_{f\varphi}^2/F_{\varphi\varphi}}. \quad (24)$$

Будем полагать, что сигнал задан на интервале наблюдения в виде отсчетов с периодом следования  $T_d$ . С учетом введенного выше ограничения полосы сигнала  $T_d < T_s/2$ . Пусть  $N$  – интервал наблюдения, выраженный в количестве интервалов  $T_d$ . Будем полагать, что интервал наблюдения содержит целое количество информационных символов. То есть  $N = KN_I$ . В таком случае для (24) можно записать [12]:

$$\text{var}(\hat{f} - f) = \frac{3}{2\pi^2 E_s/N_0 T_s^2 (KN_I - 1)^2 KN_I} \times \frac{1}{1 + O(N^{-2})},$$

где  $O(N^{-2})$  – величина порядка  $N^{-2}$ .

Понятно, что при  $K \gg 1$  для нормированной границы оценки несущей частоты справедливо:

$$CRLB(\hat{f}) = \text{var}(\hat{f} - f) T_s^2 = \frac{3}{2\pi^2 E_s/N_0 N_I^3 K^3}. \quad (25)$$

Выражение (25) определяет нижнюю границу Крамера – Рао оценки несущей частоты (CRLB, аббр. от Cramer – Rao Lower Bound). В некоторых работах эту границу называют модифицированной нижней границей Крамера – Рао [9, 13] (MCRLB, аббр. от Modified Cramer-Rao Lower Bound).

Для иллюстрации соотношения границ (16 и 25) на рисунке 7 представлены зависимости  $CRB_{PM}(\hat{f})$  и  $CRLB(\hat{f})$  от отношения сигнал/шум на чип  $E_s/N_0$ , где  $\circ - CRB_{PM}(f)$ ,  $* - CRLB(f)$ .

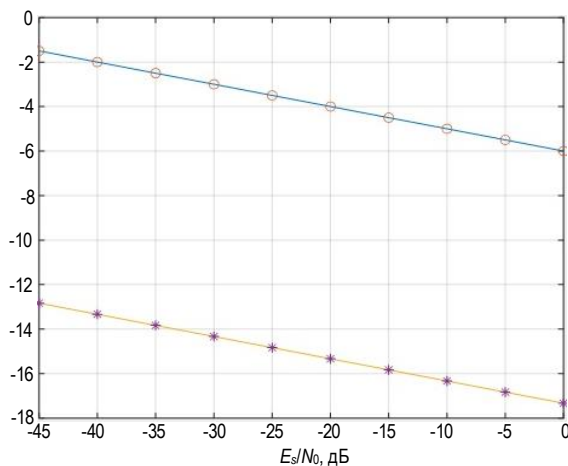


Рис. 7. Границы оценивания несущей частоты ( $N_I = 80000, K = 4$ )

Fig. 7. Carrier Frequency Estimation Bounds ( $N_I = 80000, K = 4$ )

Естественно, граница (16) существенно уступает нижней границе Крамера – Рао. Это объясняется тем, что при получении МП-оценки несущей частоты на основе вычисления функции правдоподобия не использовалась информация о фазе несущего колебания, а нижняя граница Крамера – Рао – это граница, полученная при предположении, что все параметры, кроме несущей частоты, известны.

Нижняя граница оценки задержки определяется следующим образом [12]:

$$\text{var}(\hat{\tau} - \tau) = \frac{1}{F_{\tau\tau}} = \frac{1}{2E_s/N_0 KN_I W_{RMS}^2}.$$

Так, например, для сигнала с фазовой модуляцией с учетом (4), можно записать:

$$CRLB_{PM}(\hat{\tau}) = \frac{2\pi}{E_s/N_0 KN_I} \int_{-\pi}^{\pi} \left( \frac{\sin x}{x} \right)^2 dx.$$

Аналогично для ММС:

$$CRLB_{MSK}(\hat{\tau}) = \frac{8\pi^2}{\xi_{MSK} E_s/N_0 KN_I}$$

и для сигналов с «найквистовским» спектром:

$$CRLB_{\alpha}(\hat{\tau}) = \frac{1}{2E_s/N_0 KN_I \left( \frac{1}{12} + \alpha^2 \left( \frac{1}{4} - \frac{2}{\pi^2} \right) \right)}$$

Заметим, что при получении границ оценивания для сигналов с «найквистовским» спектром не ставится ограничение на виды модуляции принимаемого сигнала. Т. е. соответствующие границы справедливы для сигналов различных видов модуляции, сформированных с использованием спектра Найквиста.

И, наконец, нижняя граница оценки фазы несущего колебания определяется как [12]:

$$CRLB(\hat{\varphi}) = \text{var}(\hat{\varphi} - \varphi) = \frac{1}{2E_s/N_0 KN_I}.$$

Следует отметить, что оценивание фазы на практике реализуется в процессе демодуляции сигнала. Поэтому практическую значимость имеет связь между нижней границей оценки фазы несущей и полосой соответствующей петли синхронизации демодулятора. Интервал наблюдения связан с полосой указанной петли следующим образом [9]:

$$N = KN_I = \frac{1}{2B_{\varphi} T_b},$$

где  $B_{\varphi}$  – односторонняя полоса петли синхронизации демодулятора по фазе несущего колебания.

В результате получим выражение, связывающее полосу петли и нижнюю границу Крамера – Рао оценки фазы:

$$CRLB(\hat{\varphi}) = \frac{B_{\varphi} T_b}{E_s/N_0}.$$

## Выводы

Определены потенциальные границы дисперсии оценок параметров сигнала с прямым расширением спектра. Представлены аналитические выражения для границ Крамера – Рао оценки несущей частоты и задержки для сигналов фазовой модуляции, модуляции минимального сдвига и сигналов, сформированных с использованием спектра Найквиста. Получены выражения для нижней границы Крамера – Рао, определяющие минимальные границы дисперсий оценок несущей частоты, задержки и фазы несущего колебания. В частности, получено выражение, связывающее нижнюю границу Крамера – Рао оценки фазы несущего колебания, как зависимость соответствующей граничной дисперсии и нормированной полосы петли  $B_{\phi} T_b$ .

Практическая значимость полученных результатов состоит в представленных зависимостях границ оценивания параметров сигналов с прямым расширением спектра от отношения сигнал/шум на чип длины расширяющей последовательности и длительности интервала наблюдения.

Результаты позволяют оценить эффективность получаемых оценок для широкого круга задач, связанных с реализацией алгоритмов синхронизации демодуляторов сигналов с прямым расширением спектра.

Предложенный подход позволяет получать границы оценивания параметров широкого круга сигналов с различными видами модуляции и спектральными характеристиками.

Естественно, что при реализации алгоритмов оценивания параметров сигналов с прямым расширением спектра необходимо сопоставлять получаемые дисперсии оценок с границами, определенными в представленной работе. В частности, в

настоящей работе показано, что граница (20) практически достигается при реализации совместного МП-оценивания параметров  $\{f, \tau\}$  сигнала с прямым расширением спектра, использующего модуляцию минимального сдвига. При этом полученные дисперсии оценок несущей частоты существенно уступают соответствующей нижней границе Крамера – Рао.

Соответствующий алгоритм оценивания предложен в работах [2, 3], но оценка задержки в работах практически не обсуждается. В перспективе представляется целесообразным разработка и исследования алгоритмов эффективного оценивания как несущей частоты, так и задержки. Что касается оценивания фазы несущего колебания, основной акцент следует сделать на разработке собственно алгоритмов демодуляции сигнала.

Естественно, что во всех случаях интерес вызывают алгоритмы оценивания, обеспечивающие дисперсии, близкие к соответствующим нижним границам Крамера – Рао, представленным в настоящей работе.

Подводя итог проведенным исследованиям, можно сделать следующие выводы:

- получены аналитические выражения для границ оценивания параметров сигналов с прямым расширением спектра;
- предложен подход, позволяющий получить границы оценивания параметров сигналов для широкого круга задач;
- полученные результаты позволяют определить границы оценивания в зависимости от видов модуляции, спектральных характеристик принимаемых сигналов, длины расширяющей последовательности и длительности интервалов наблюдения;
- в качестве иллюстрации результатов в работе представлены графики, показывающие соотношения обсуждаемых границ оценивания.

## Список источников

1. Брусин Е.А. Начальная синхронизация демодулятора сигнала с прямым расширением спектра с использованием быстрого преобразования Фурье // 11-я Международная научно-техническая и научно-методическая конференция «Актуальные проблемы инфотелекоммуникаций в науке и образовании» (АПИНО-2022, Санкт-Петербург, Россия, 15–16 февраля 2022). СПб.: СПбГУТ, 2022. Т. 2. С. 522–527.
2. Брусин Е.А. Реализация алгоритма начальной синхронизации демодулятора сигналов с прямым расширением спектра на основе быстрого преобразования Фурье. Часть 1. Постановка задачи и подход к решению // Труды учебных заведений связи. 2022. Т. 8. № 4. С. 21–27. DOI:10.31854/1813-324X-2022-8-4-21-27
3. Брусин Е.А. Реализация алгоритма начальной синхронизации демодулятора сигналов с прямым расширением спектра на основе быстрого преобразования Фурье. Часть 2. Оценивание несущей частоты // Труды учебных заведений связи. 2023. Т. 9. № 1. С. 35–40. DOI:10.31854/1813-324X-2023-9-4-35-40
4. Ipatov V.P. Spread Spectrum and CDMA. Principles and Applications. John Wiley & Sons, 2005.
5. Бердников А.С., Жуков Е.Т., Носов Е.В. Проект модема сличения шкал времени по дуплексному каналу спутниковой связи // Труды института прикладной астрономии РАН. 2016. № 36. С. 21–26.
6. Интерфейсный контрольный документ. Радиосигналы и состав цифровой информации функционального дополнения системы ГЛОНАСС системы дифференциальной коррекции и мониторинга (редакция 1) // Система дифференциальной коррекции и мониторинга. URL: <https://sdcm.ru> (дата обращения 22.11.2023)
7. Cariolaro G. Unified Signal Theory. Springer Science & Business Media, 2011. 928 p.
8. Банкет В.М., Дорофеев В.М. Цифровые методы в спутниковой связи. М.: Радио и Связь, 1988. 240 с.
9. Mengali U. Synchronization Technique for Digital Receivers. Springer Science & Business Media, 1997. 520 p.

10. Сиберт У.М. Цепи, сигналы, системы: В 2-х частях. М.: Мир, 1988. 696 с.
11. Rife D.C., Boorstyn R.R. Single tone parameter estimation from discrete-time observation // *IEEE Transactions on Information Theory*. 1974. Vol. 20. Iss. 5. PP. 591–598. DOI:10.1109/TIT.1974.1055282
12. Meyer H., Moeneclaye M., Fechtel S.A. *Digital Communication Receivers*. John Wiley&Sons, Inc., New York, 1998.
13. Gini F., Reggiannini R., Mengali U. The modified Cramer-Rao bound in vector parameter estimation // *IEEE Transactions on Communications*. 1998. Vol. 46. PP. 52–60. DOI:10.1109/26.655403

## References

1. Brusin E.A. Initial Timing of a Direct Spread Demodulator Using Fast Fourier Transform. *Proceedings of the XIth International Conference on Infotelecommunications in Science and Education, 15–16 February 2022, St. Petersburg, Russia, vol.2*. St. Petersburg: The Bonch-Bruевич Saint-Petersburg State University of Telecommunications Publ.; 2022. p.522–527.
2. Brusin E. Direct Sequence Spread Spectrum Signal's Demodulator Acquisition Implementation Based on Fast Fourier Transform. Part 2. Problem Statement and Solution Approach. *Proceedings of Telecommun. Univ.* 2022;8(4):21–27. DOI:10.31854/1813-324X-2022-8-4-21-27
3. Brusin E. Direct Sequence Spread Spectrum Signal's Demodulator Acquisition Implementation Based on Fast Fourier Transform. Part 3. Carrier Frequency Estimation. *Proceedings of Telecommun. Univ.* 2023;9(1):35–40. DOI:10.31854/1813-324X-2023-9-1-35-40
4. Ipatov V.P. *Spread Spectrum and CDMA. Principles and Applications*. John Wiley & Sons; 2005.
5. Berdnikov A.S., Zhukov E.T., Nosov E.V. Project of the modem of time scale comparison on duplex channel of satellite communication. *Transactions of the Institute of Applied Astronomy RAS*. 2016;36:21–26.
6. *System of Differential Correction and Monitoring*. Interface control document. Radio signals and composition of digital information of the functional completion of the GLONASS system of differential correction and monitoring (revision 1). URL: <https://sdcm.ru> [Accessed 22.11.2023]
7. Cariolaro G. *Unified Signal Theory*. Springer Science & Business Media; 2011. 928 p.
8. Banquet V.M., Dorofeev V.M. *Digital methods in satellite communications*. Moscow: Radio i svyaz Publ.; 1988. 240 p.
9. Mengali U. *Synchronization Technique for Digital Receivers*. Springer Science & Business Media; 1997. 520 p.
10. Sibert W.M. *Circuits, Signals, Systems*: In 2 parts. Moscow: Mir Publ.; 1988. 696 p.
11. Rife D.C., Boorstyn R.R. Single tone parameter estimation from discrete-time observation. *IEEE Transactions on Information Theory*. 1974;20(5):591–598. DOI:10.1109/TIT.1974.1055282
12. Meyer H., Moeneclaye M., Fechtel S.A. *Digital Communication Receivers*. John Wiley&Sons, Inc., New York; 1998.
13. Gini F., Reggiannini R., Mengali U. The modified Cramer-Rao bound in vector parameter estimation. *IEEE Transactions on Communications*. 1998;46:52–60. DOI:10.1109/26.655403

Статья поступила в редакцию 09.11.2023; одобрена после рецензирования 01.12.2023; принята к публикации 04.12.2023.

The article was submitted 09.11.2023; approved after reviewing 01.12.2023; accepted for publication 04.12.2023.

## Информация об авторе:

**БРУСИН**  
**Ефим Александрович**

кандидат технических наук, руководитель проектного направления АО «Российский институт радионавигации и времени», доцент кафедры электроники и схемотехники Санкт-Петербургского государственного университета телекоммуникаций им. проф. М.А. Бонч-Бруевича

 <https://orcid.org/0000-0002-6742-2705>